

E Abbildungen

Vektorielle Darstellung von Meßergebnissen

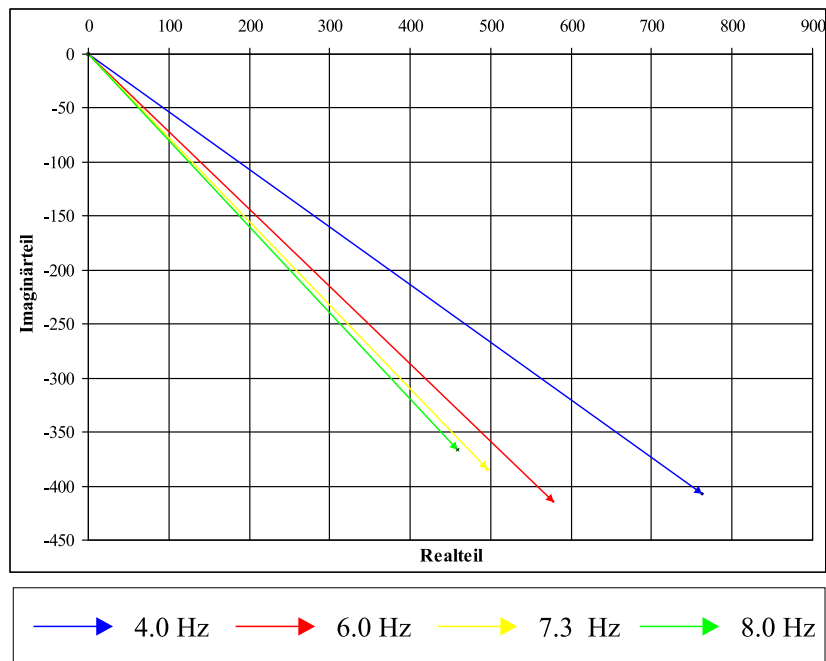


Abbildung D.1: Vektorielle Darstellung der Meßsignale für 250 ppm SO₂ bei Chopperfrequenzen von 4, 6, 7.3 und 8 Hz gemessenen mit einem „frischen Detektor“ .

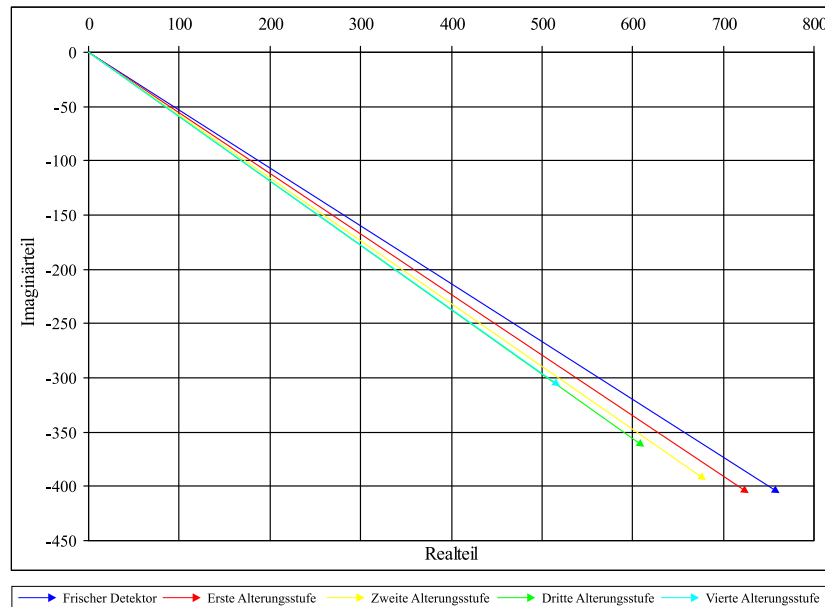


Abbildung D.2: Vektoren für SO₂: Amplitude und Phase während der Alterung des Detektors bei einer festen Frequenz von 4 Hz .

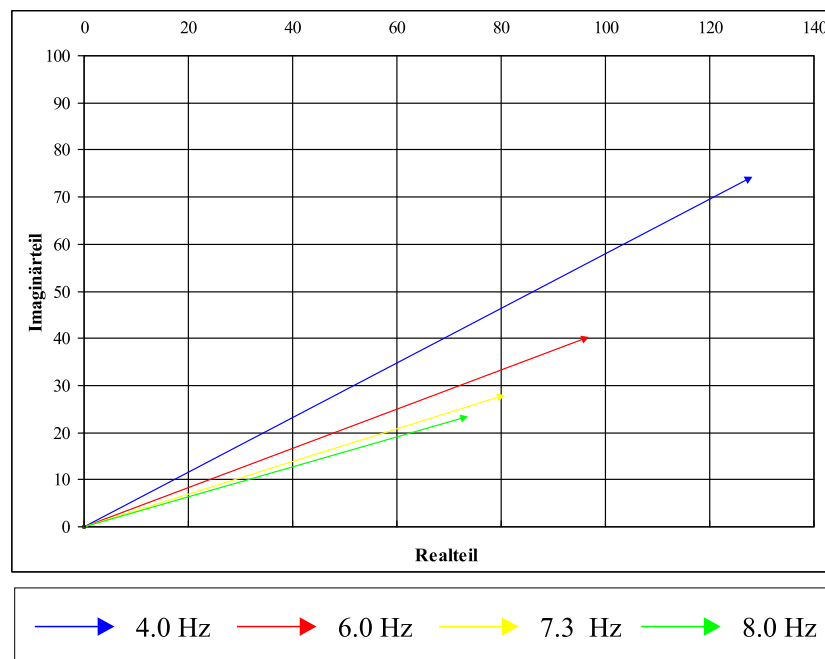


Abbildung D.3: Vektorielle Darstellung der Meßsignale für 24990 ppm H₂O bei Chopperfrequenzen von 4, 6, 7.3 und 8 Hz gemessenen mit einem „frischen Detektor“ .

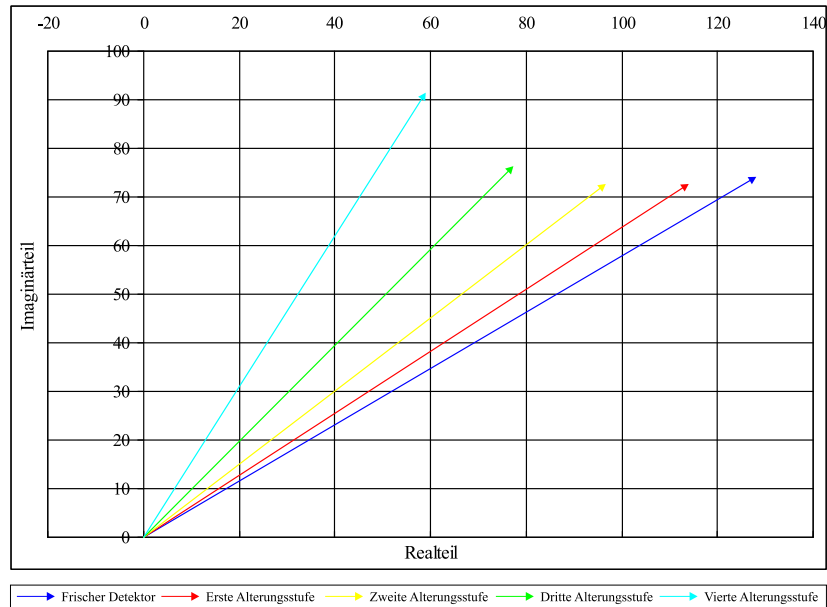


Abbildung D.4: Vektoren für H₂O: Amplitude und Phase während der Alterung des Detektors bei einer festen Frequenz von 4 Hz .

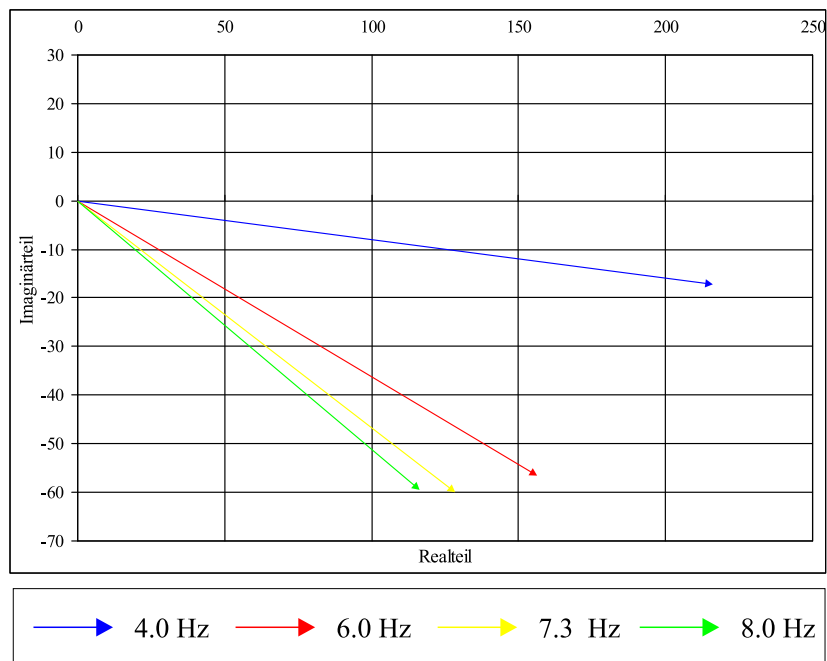


Abbildung D.5: Vektorielle Darstellung der Meßsignale für 2.5 % Grauanteil bei Chopperfrequenzen von 4, 6, 7.3 und 8 Hz gemessenen mit einem „frischen Detektor“ .

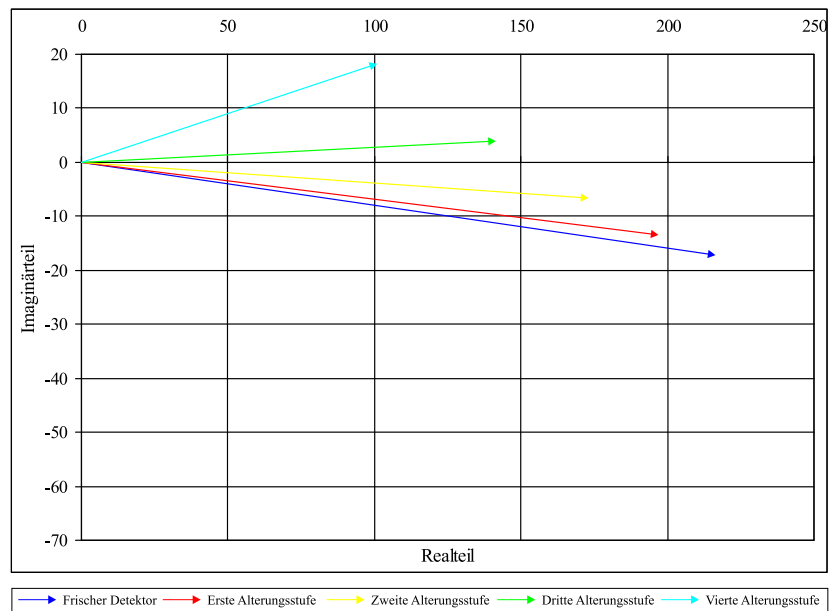


Abbildung D.6: Vektoren für den Grauanteil: Amplitude und Phase während der Alterung des Detektors bei einer festen Frequenz von 4 Hz .

Kalibrationsmodelle für H₂O - Alterungsprozeß I

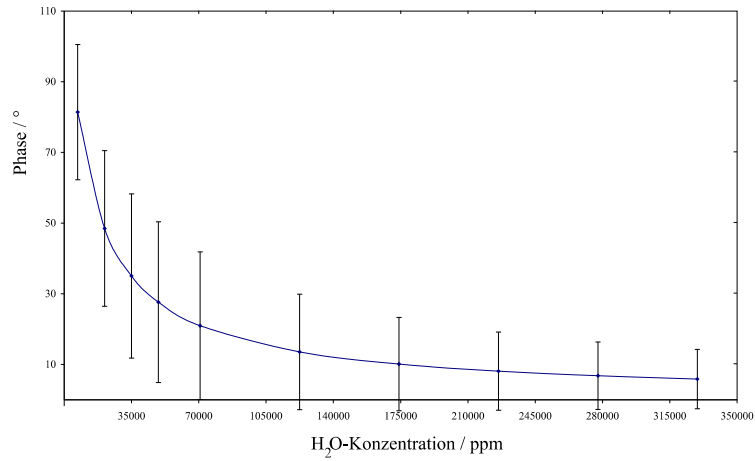


Abbildung D.7: Mittelwertfunktion als Ergebnis der Regression mit dem Modell Shifted Power.

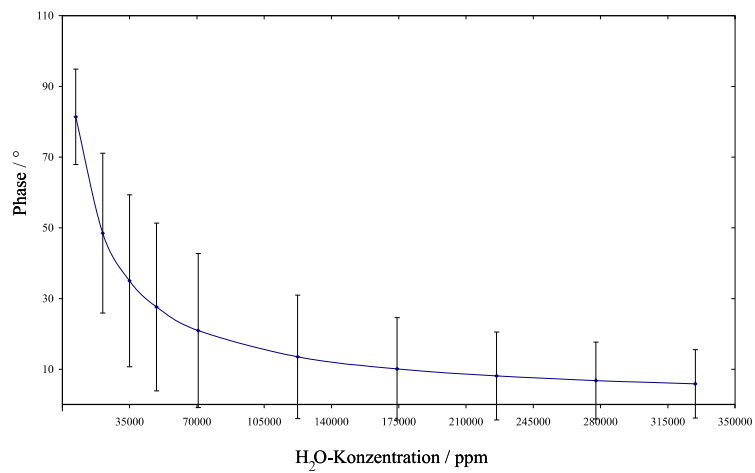


Abbildung D.8: Mittelwertfunktion als Ergebnis der Regression mit dem Modell Bleasdale.

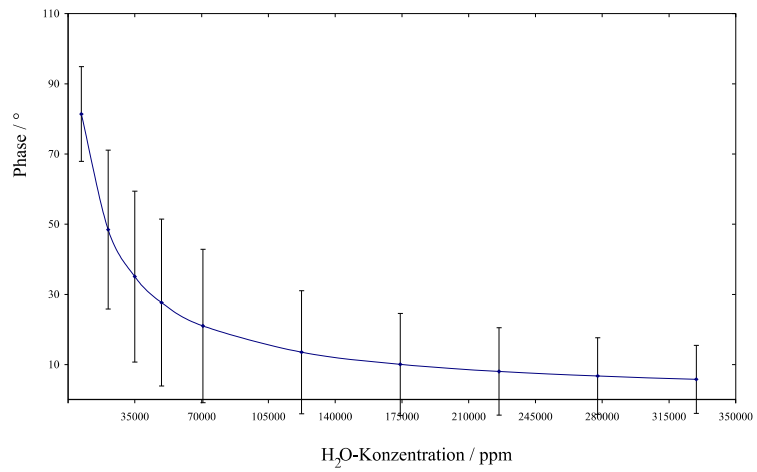


Abbildung D.9: Mittelwertfunktion als Ergebnis der Regression mit dem Modell Harris.

Kalibrationsmodelle für H₂O - Alterungsprozeß II

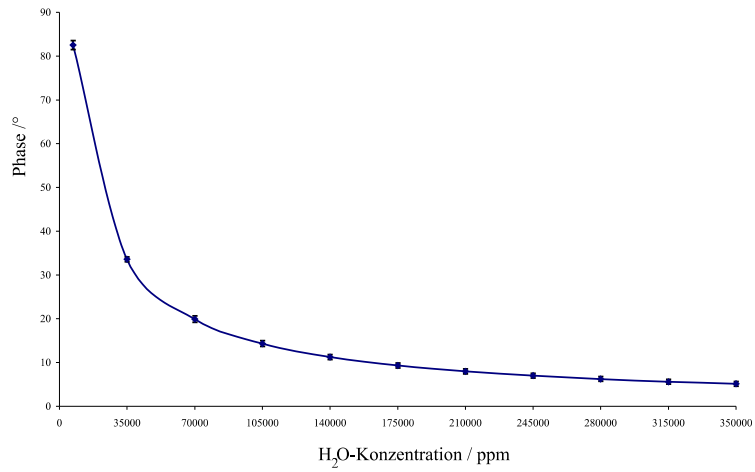


Abbildung D.10: Mittelwertfunktion als Ergebnis der Regression mit dem Modell Shifted Power.

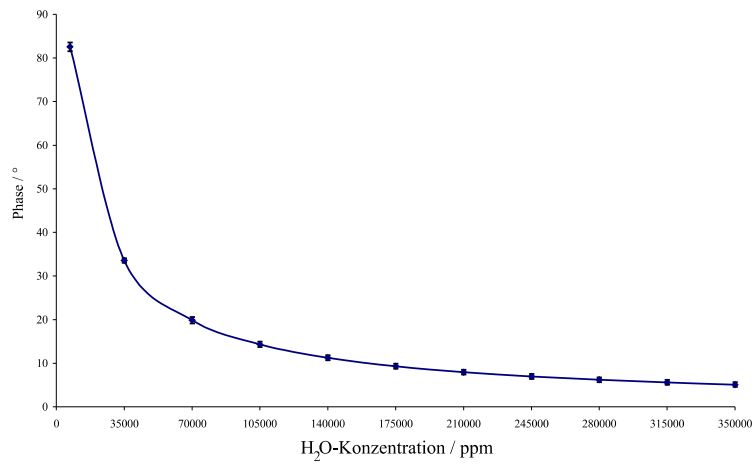


Abbildung D.11: Mittelwertfunktion als Ergebnis der Regression mit dem Modell Bleasdale.

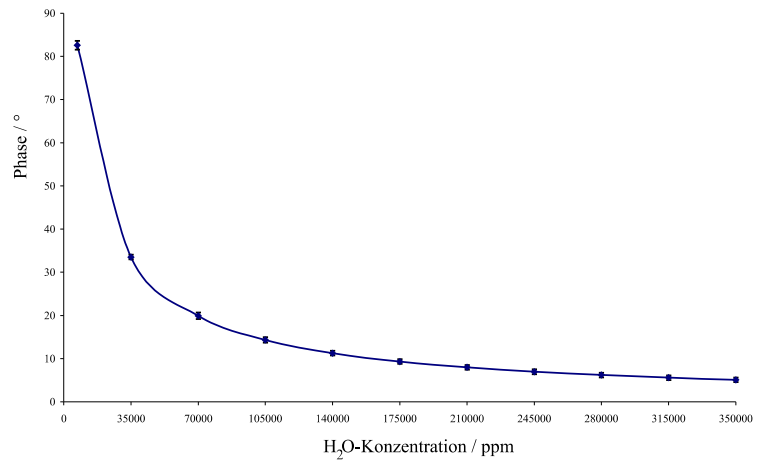


Abbildung D.12: Mittelwertfunktion als Ergebnis der Regression mit dem Modell Harris.